

Тройная звездная система Wolf 1130. Wolf 1130AB — субкарлик + белый карлик, а Wolf 1130C — коричневый карлик. Изображение: Д. Лэнг, 2014/unWISE

Телескоп «Джеймс Уэбб» впервые зафиксировал фосфин в атмосфере субзвездного объекта за пределами Солнечной системы. Целью наблюдений стал коричневый карлик Wolf 1130C, входящий в тройную систему в созвездии Лебедя примерно в 54 световых годах от Земли. Это обнаружение не указывает на наличие жизни, но проливает свет на сложность интерпретации спектральных данных и ставит важные рамки для поиска биосигнатур на экзопланетах. Коричневые карлики занимают промежуточное положение между массивными газовыми гигантами и звездами. Wolf 1130C с массой около 44 масс Юпитера недостаточно массивен для поддержания устойчивого термоядерного синтеза водорода, но в его недрах может происходить сгорание дейтерия. В таких условиях фосфин может стабильно существовать и производиться абиогенными химическими процессами, аналогично его наличию в атмосферах Юпитера и Сатурна. Долгое время фосфин не удавалось обнаружить в атмосферах коричневых карликов из-за фундаментальной спектроскопической проблемы. Его ключевая полоса поглощения находится на такой длине волны, что совпадает с одной из самых интенсивных линий поглощения углекислого газа. В горячих атмосферах коричневых карликов CO₂ доминирует и создает настолько мощный сигнал, что полностью маскирует более слабую линию фосфина. Уникальность Wolf 1130C заключается в его чрезвычайно низкой «металличности» — содержании элементов тяжелее гелия. Будучи старым объектом толстого галактического диска, он обладает дефицитом углерода. Это приводит к пониженной концентрации CO₂ в его атмосфере, что в свою очередь позволило спектральному сигналу фосфина быть различимым для инструментов «Джеймса Уэбба». Анализ подтвердил, что источником фосфина является сам коричневый карлик, а не его компаньоны — два красных карлика. Данное открытие имеет прямое отношение к продолжающимся дебатам о возможном обнаружении фосфина в атмосфере Венеры.

Алексей Кудря

Источник (полный текст): <https://www.trv-science.ru/2025/10/>

«АстроКА» Календарь наблюдателя № 09 (288) Сентябрь 2026 года

© Козловский А.Н. (<http://moscowaleks.narod.ru> - «Галактика» и <http://astrogalaxy.ru> - «Астрогалактика»;

данные сайты созданы совместно с Кременчужким Александром)

Издается с 2002 года. С 2004 года - серия «АстроБиблиотека», с 2006 года – приложение к журналу «Небосвод».

Календарь наблюдателя выкладывается в сети на Интернет-ресурсе <http://www.astronet.ru/>

Источники данных: [GUIDE 8.0](#) (карты путей комет, астероидов и их эфемериды, Луна), Occult v4.0 (эфемериды планет и спутников Юпитера, краткий календарь), <http://www.calsky.com/> (Солнце), Astronomy Lab 2.03 (график спутников Юпитера), <http://www.imo.net> (метеоры), AAVSO (переменные звезды), <https://elementy.ru/> (новости).

Время приводится всемирное (UT). Таблицы - для φ=56 и λ=0. Координаты небесных тел указаны на 0 часов UT.

Ваши пожелания будут учитываться в последующих выпусках. Копирование разрешается. При перепечатке ссылка

обязательна. (Первый e-mail sev_kip2@samaratransgaz.gazprom.ru).

Набрано в 2025 году



В этом номере:

1. Планеты месяца.
2. Астероиды.
3. Луна. Солнце. Соединения Луны с планетами.
4. Астрономические события месяца
6. Конфигурации спутников Юпитера.
7. Кометы.
8. Новости астрономии

ПЛАНЕТЫ МЕСЯЦА

| Меркурий | Пр. восх. | Склонение | Расстояние | dia | mag | Elong | I | фаза | Limb | De | Pp |
|---------------|-------------|-------------|------------|------|------|--------|-----|-------|-------|-----|-----|
| год мес д | h m s | o ' " | AU | " | | o | o | | o | o | o |
| 2026 Sep 1 | 10 57 16.27 | 8 23 18.5 | 1.376780 | 4.9 | -1.5 | 4.4e | 12 | 98.9 | 271.6 | 5 | 25 |
| 2026 Sep 4 | 11 17 36.94 | 6 2 44.7 | 1.377748 | 4.8 | -1.2 | 6.9e | 18 | 97.6 | 281.6 | 5 | 26 |
| 2026 Sep 7 | 11 37 3.30 | 3 41 23.8 | 1.372466 | 4.9 | -0.9 | 9.3e | 23 | 95.9 | 286.5 | 5 | 27 |
| 2026 Sep 10 | 11 55 41.32 | 1 20 57.1 | 1.361850 | 4.9 | -0.7 | 11.6e | 28 | 94.0 | 289.5 | 5 | 28 |
| 2026 Sep 13 | 12 13 37.05 | - 0 57 18.0 | 1.346589 | 5.0 | -0.5 | 13.6e | 33 | 92.0 | 291.4 | 4 | 28 |
| 2026 Sep 16 | 12 30 56.00 | - 3 12 20.6 | 1.327174 | 5.0 | -0.4 | 15.6e | 37 | 89.9 | 292.8 | 4 | 29 |
| 2026 Sep 19 | 12 47 42.79 | - 5 23 20.8 | 1.303942 | 5.1 | -0.3 | 17.4e | 41 | 87.7 | 293.7 | 4 | 29 |
| 2026 Sep 22 | 13 4 1.01 | - 7 29 35.1 | 1.277106 | 5.2 | -0.2 | 19.0e | 45 | 85.4 | 294.3 | 4 | 29 |
| 2026 Sep 25 | 13 19 52.89 | - 9 30 22.9 | 1.246783 | 5.4 | -0.2 | 20.5e | 49 | 82.9 | 294.7 | 4 | 28 |
| 2026 Sep 28 | 13 35 19.17 | -11 25 3.5 | 1.213024 | 5.5 | -0.1 | 21.8e | 53 | 80.2 | 294.8 | 4 | 28 |
| Венера | | | | | | | | | | | |
| 2026 Aug 29 | 13 10 34.20 | -10 44 16.0 | 0.577582 | 29.1 | -4.6 | 45.1e | 101 | 40.7 | 295.3 | 4 | 22 |
| 2026 Sep 3 | 13 24 47.55 | -12 49 56.1 | 0.539056 | 31.2 | -4.7 | 44.3e | 105 | 37.5 | 295.6 | 5 | 22 |
| 2026 Sep 8 | 13 37 51.55 | -14 47 1.6 | 0.501369 | 33.5 | -4.7 | 43.2e | 109 | 34.0 | 295.9 | 6 | 21 |
| 2026 Sep 13 | 13 49 29.38 | -16 33 45.0 | 0.464745 | 36.2 | -4.7 | 41.7e | 113 | 30.3 | 296.3 | 6 | 21 |
| 2026 Sep 18 | 13 59 18.32 | -18 7 50.5 | 0.429483 | 39.2 | -4.8 | 39.7e | 118 | 26.4 | 297.1 | 7 | 20 |
| 2026 Sep 23 | 14 6 50.35 | -19 26 27.5 | 0.396010 | 42.5 | -4.8 | 37.0e | 124 | 22.2 | 298.2 | 7 | 20 |
| 2026 Sep 28 | 14 11 34.48 | -20 26 1.6 | 0.364898 | 46.1 | -4.8 | 33.7e | 130 | 17.7 | 299.9 | 8 | 20 |
| Марс | | | | | | | | | | | |
| 2026 Aug 29 | 6 48 30.80 | 23 27 31.6 | 1.866166 | 5.0 | 1.3 | 54.2w | 33 | 92.1 | 95.1 | 8 | 339 |
| 2026 Sep 3 | 7 2 18.75 | 23 13 52.7 | 1.839053 | 5.1 | 1.2 | 55.9w | 33 | 91.8 | 96.5 | 9 | 341 |
| 2026 Sep 8 | 7 15 54.00 | 22 56 12.1 | 1.810753 | 5.2 | 1.2 | 57.6w | 34 | 91.5 | 97.8 | 10 | 343 |
| 2026 Sep 13 | 7 29 15.20 | 22 34 46.4 | 1.781248 | 5.3 | 1.2 | 59.3w | 34 | 91.3 | 99.1 | 11 | 345 |
| 2026 Sep 18 | 7 42 21.21 | 22 9 53.8 | 1.750563 | 5.3 | 1.2 | 61.2w | 35 | 91.0 | 100.3 | 13 | 347 |
| 2026 Sep 23 | 7 55 11.23 | 21 41 52.5 | 1.718730 | 5.4 | 1.2 | 63.0w | 35 | 90.8 | 101.5 | 14 | 348 |
| 2026 Sep 28 | 8 7 44.69 | 21 11 0.6 | 1.685763 | 5.6 | 1.1 | 65.0w | 36 | 90.6 | 102.6 | 15 | 350 |
| Юпитер | | | | | | | | | | | |
| 2026 Aug 29 | 9 1 15.78 | 17 29 53.8 | 6.214012 | 31.7 | -1.6 | 22.6w | 4 | 99.9 | 107.7 | 0 | 18 |
| 2026 Sep 8 | 9 9 38.95 | 16 55 1.8 | 6.145680 | 32.0 | -1.7 | 30.2w | 5 | 99.8 | 108.0 | 0 | 19 |
| 2026 Sep 18 | 9 17 39.15 | 16 20 34.1 | 6.058887 | 32.5 | -1.7 | 38.0w | 7 | 99.7 | 108.3 | 0 | 20 |
| 2026 Sep 28 | 9 25 10.95 | 15 47 10.8 | 5.955051 | 33.1 | -1.7 | 45.9w | 8 | 99.5 | 108.7 | 0 | 20 |
| Сатурн | | | | | | | | | | | |
| 2026 Aug 29 | 0 53 39.98 | 2 52 42.5 | 8.630526 | 19.3 | 0.5 | 141.8w | 4 | 99.9 | 70.6 | -9 | 3 |
| 2026 Sep 8 | 0 51 33.09 | 2 37 21.7 | 8.540048 | 19.5 | 0.4 | 152.0w | 3 | 99.9 | 72.2 | -8 | 3 |
| 2026 Sep 18 | 0 49 2.72 | 2 20 0.8 | 8.476019 | 19.7 | 0.4 | 162.4w | 2 | 100.0 | 75.6 | -8 | 3 |
| 2026 Sep 28 | 0 46 16.82 | 2 1 34.0 | 8.440915 | 19.7 | 0.3 | 172.6w | 1 | 100.0 | 88.4 | -8 | 3 |
| Уран | | | | | | | | | | | |
| 2026 Aug 29 | 4 13 24.90 | 21 1 17.6 | 19.419748 | 3.5 | 5.7 | 90.1w | 3 | 99.9 | 79.7 | 75 | 292 |
| 2026 Sep 8 | 4 13 41.39 | 21 2 0.1 | 19.250488 | 3.6 | 5.7 | 99.7w | 3 | 99.9 | 79.8 | 75 | 292 |
| 2026 Sep 18 | 4 13 36.33 | 21 1 48.0 | 19.086006 | 3.6 | 5.7 | 109.4w | 3 | 99.9 | 79.8 | 75 | 292 |
| 2026 Sep 28 | 4 13 10.10 | 21 0 42.6 | 18.931315 | 3.6 | 5.6 | 119.3w | 3 | 99.9 | 79.8 | 75 | 291 |
| Нептун | | | | | | | | | | | |
| 2026 Aug 29 | 0 14 34.21 | - 0 2 23.2 | 28.983797 | 2.5 | 7.8 | 151.9w | 1 | 100.0 | 69.3 | -19 | 316 |
| 2026 Sep 8 | 0 13 39.70 | - 0 3 47.7 | 28.919431 | 2.5 | 7.8 | 161.8w | 1 | 100.0 | 70.9 | -19 | 316 |
| 2026 Sep 18 | 0 12 40.88 | - 0 10 21.2 | 28.883307 | 2.5 | 7.8 | 171.8w | 0 | 100.0 | 76.5 | -19 | 316 |
| 2026 Sep 28 | 0 11 40.08 | - 0 17 2.0 | 28.876766 | 2.5 | 7.8 | 177.6e | 0 | 100.0 | 210.7 | -19 | 316 |

Обозначения: Пр. восх. – прямое восхождение (2000.0), Склонение – склонение (2000.0), Расстояние – геоцентрическое расстояние от Земли до планеты в астрономических единицах, dia – видимый диаметр в секундах дуги, mag - звездная величина, Elong – видимое угловое удаление (элонгация) от Солнца в градусах, I - фазовый угол (угол при центре планеты между направлениями на Солнце и Землю), Фаза - величина освещенной части диска планеты (от 0 до 100%), Limb - позиционный угол средней точки светлого лимба в градусах (отсчитывается от точки севера против часовой стрелки от 0° до 360°), De - угол наклона оси планеты к картинной плоскости перпендикулярной лучу зрения в градусах, причем знак указывает наклон северного «» или южного «» полюса планеты к Земле (для Сатурна это также наклон колец), Pp – позиционный угол северного полюса планеты по отношению к полюсу мира в градусах (отсчитывается при центре планеты против часовой стрелки от 0° до 360°).

Астероиды в сентябре 2026 года

(с блеском около 10m и ярче)

Церера (1)

| Дата | $\alpha(2000.0)$ | $\delta(2000.0)$ | r | Δ | m | elon. | V | PA | con. |
|-------------|------------------|------------------|-------|----------|-----|-------|-------|------|------|
| 1 Sep 2026 | 6h28m15.72s | N22 46.962' | 2.697 | 3.025 | 8.9 | 61.7 | 51.40 | 86.8 | Gem |
| 6 Sep 2026 | 6h35m34.16s | N22 52.073' | 2.693 | 2.962 | 8.9 | 64.9 | 50.00 | 87.1 | Gem |
| 11 Sep 2026 | 6h42m40.35s | N22 56.599' | 2.689 | 2.897 | 8.8 | 68.1 | 48.45 | 87.3 | Gem |
| 16 Sep 2026 | 6h49m32.75s | N23 00.728' | 2.685 | 2.831 | 8.8 | 71.4 | 46.72 | 87.3 | Gem |
| 21 Sep 2026 | 6h56m09.79s | N23 04.673' | 2.681 | 2.764 | 8.8 | 74.8 | 44.85 | 87.3 | Gem |
| 26 Sep 2026 | 7h02m30.41s | N23 08.626' | 2.677 | 2.696 | 8.7 | 78.2 | 42.81 | 87.0 | Gem |
| 1 Oct 2026 | 7h08m32.88s | N23 12.817' | 2.673 | 2.627 | 8.7 | 81.8 | 40.59 | 86.6 | Gem |

Паллада (2)

| | | | | | | | | | |
|-------------|-------------|-------------|-------|-------|-----|-------|-------|-------|-----|
| 1 Sep 2026 | 1h39m04.51s | S 4 25.771' | 2.889 | 2.084 | 8.9 | 135.2 | 36.08 | 186.7 | Cet |
| 6 Sep 2026 | 1h38m17.64s | S 5 39.706' | 2.878 | 2.031 | 8.8 | 140.0 | 39.06 | 192.6 | Cet |
| 11 Sep 2026 | 1h36m56.84s | S 6 57.854' | 2.866 | 1.984 | 8.7 | 144.8 | 41.99 | 197.6 | Cet |
| 16 Sep 2026 | 1h35m02.99s | S 8 19.292' | 2.855 | 1.944 | 8.5 | 149.3 | 44.63 | 201.9 | Cet |
| 21 Sep 2026 | 1h32m38.23s | S 9 42.867' | 2.843 | 1.910 | 8.4 | 153.3 | 46.78 | 205.7 | Cet |
| 26 Sep 2026 | 1h29m45.42s | S11 07.283' | 2.832 | 1.883 | 8.4 | 156.6 | 48.28 | 209.1 | Cet |
| 1 Oct 2026 | 1h26m28.50s | S12 31.110' | 2.820 | 1.864 | 8.3 | 158.7 | 49.00 | 212.1 | Cet |

Юнона (3)

| | | | | | | | | | |
|-------------|--------------|-------------|-------|-------|-----|-------|-------|-------|-----|
| 1 Sep 2026 | 19h43m43.55s | S 9 11.736' | 2.706 | 1.882 | 9.5 | 136.6 | 22.76 | 216.2 | Aql |
| 6 Sep 2026 | 19h42m17.16s | S 9 48.168' | 2.693 | 1.915 | 9.6 | 131.6 | 19.79 | 205.7 | Aql |
| 11 Sep 2026 | 19h41m30.40s | S10 23.324' | 2.679 | 1.953 | 9.7 | 126.7 | 17.44 | 191.7 | Aql |
| 16 Sep 2026 | 19h41m24.39s | S10 56.793' | 2.666 | 1.994 | 9.7 | 121.9 | 16.21 | 174.5 | Aql |
| 21 Sep 2026 | 19h41m59.25s | S11 28.241' | 2.652 | 2.038 | 9.8 | 117.2 | 16.42 | 156.5 | Aql |
| 26 Sep 2026 | 19h43m14.08s | S11 57.427' | 2.639 | 2.085 | 9.8 | 112.7 | 17.96 | 140.5 | Sgr |
| 1 Oct 2026 | 19h45m07.69s | S12 24.164' | 2.625 | 2.133 | 9.9 | 108.3 | 20.44 | 128.0 | Sgr |

Веста (4)

| | | | | | | | | | |
|-------------|-------------|-------------|-------|-------|-----|-------|-------|-------|-----|
| 1 Sep 2026 | 1h56m18.54s | N 0 41.963' | 2.430 | 1.654 | 7.0 | 130.1 | 11.70 | 199.6 | Cet |
| 6 Sep 2026 | 1h55m30.25s | N 0 18.323' | 2.435 | 1.615 | 6.9 | 135.1 | 15.73 | 216.8 | Cet |
| 11 Sep 2026 | 1h53m58.43s | S 0 08.234' | 2.440 | 1.579 | 6.8 | 140.2 | 20.39 | 226.9 | Cet |
| 16 Sep 2026 | 1h51m44.23s | S 0 37.155' | 2.444 | 1.549 | 6.7 | 145.4 | 25.04 | 233.4 | Cet |
| 21 Sep 2026 | 1h48m50.40s | S 1 07.724' | 2.449 | 1.523 | 6.6 | 150.7 | 29.35 | 237.9 | Cet |
| 26 Sep 2026 | 1h45m20.83s | S 1 39.170' | 2.453 | 1.503 | 6.5 | 155.9 | 33.07 | 241.5 | Cet |
| 1 Oct 2026 | 1h41m20.84s | S 2 10.609' | 2.457 | 1.489 | 6.5 | 160.8 | 36.03 | 244.4 | Cet |

Флора (8)

| | | | | | | | | | |
|-------------|--------------|-------------|-------|-------|------|-------|-------|-------|-----|
| 1 Sep 2026 | 18h41m25.82s | S24 55.591' | 2.167 | 1.466 | 9.9 | 121.1 | 8.47 | 119.4 | Sgr |
| 6 Sep 2026 | 18h43m00.14s | S25 03.721' | 2.158 | 1.509 | 10.0 | 116.6 | 13.79 | 103.8 | Sgr |
| 11 Sep 2026 | 18h45m26.10s | S25 10.105' | 2.149 | 1.554 | 10.1 | 112.3 | 19.33 | 97.1 | Sgr |
| 16 Sep 2026 | 18h48m41.45s | S25 14.694' | 2.140 | 1.601 | 10.2 | 108.2 | 24.70 | 93.5 | Sgr |
| 21 Sep 2026 | 18h52m43.26s | S25 17.421' | 2.131 | 1.649 | 10.3 | 104.2 | 29.76 | 91.1 | Sgr |
| 26 Sep 2026 | 18h57m28.06s | S25 18.207' | 2.122 | 1.697 | 10.3 | 100.4 | 34.48 | 89.3 | Sgr |
| 1 Oct 2026 | 19h02m52.59s | S25 16.962' | 2.112 | 1.747 | 10.4 | 96.7 | 38.87 | 87.8 | Sgr |

Метид (9)

| | | | | | | | | | |
|-------------|--------------|-------------|-------|-------|-----|-------|-------|-------|-----|
| 1 Sep 2026 | 22h38m28.51s | S18 55.551' | 2.396 | 1.397 | 9.3 | 169.6 | 37.85 | 248.7 | Aqr |
| 6 Sep 2026 | 22h33m38.52s | S19 21.286' | 2.390 | 1.399 | 9.4 | 166.0 | 36.78 | 251.3 | Aqr |
| 11 Sep 2026 | 22h28m56.21s | S19 42.809' | 2.383 | 1.407 | 9.4 | 161.2 | 34.55 | 254.1 | Aqr |
| 16 Sep 2026 | 22h24m31.41s | S19 59.441' | 2.376 | 1.422 | 9.6 | 156.0 | 31.28 | 257.3 | Aqr |
| 21 Sep 2026 | 22h20m33.05s | S20 10.755' | 2.369 | 1.442 | 9.7 | 150.6 | 27.20 | 261.3 | Aqr |
| 26 Sep 2026 | 22h17m07.98s | S20 16.620' | 2.362 | 1.468 | 9.8 | 145.2 | 22.57 | 266.5 | Aqr |
| 1 Oct 2026 | 22h14m21.67s | S20 17.069' | 2.355 | 1.499 | 9.9 | 139.9 | 17.72 | 274.3 | Aqr |

Мельпомена (18)

| | | | | | | | | | |
|-------------|--------------|-------------|-------|-------|------|-------|-------|-------|-----|
| 1 Sep 2026 | 18h35m10.66s | S16 12.648' | 2.072 | 1.374 | 9.8 | 120.0 | 21.15 | 148.5 | Sgr |
| 6 Sep 2026 | 18h37m11.71s | S16 48.234' | 2.060 | 1.411 | 9.9 | 115.7 | 24.32 | 134.4 | Sgr |
| 11 Sep 2026 | 18h40m04.43s | S17 21.676' | 2.048 | 1.451 | 9.9 | 111.6 | 28.32 | 124.1 | Sgr |
| 16 Sep 2026 | 18h43m46.94s | S17 52.692' | 2.036 | 1.492 | 10.0 | 107.6 | 32.66 | 116.5 | Sgr |
| 21 Sep 2026 | 18h48m16.68s | S18 21.038' | 2.024 | 1.534 | 10.1 | 103.8 | 37.05 | 110.9 | Sgr |
| 26 Sep 2026 | 18h53m30.45s | S18 46.516' | 2.012 | 1.578 | 10.2 | 100.1 | 41.32 | 106.5 | Sgr |
| 1 Oct 2026 | 18h59m25.26s | S19 08.958' | 2.001 | 1.621 | 10.2 | 96.6 | 45.41 | 102.9 | Sgr |

Nausikaa (192)

| | | | | | | | | | |
|-------------|-------------|-------------|-------|-------|-----|-------|-------|-------|-----|
| 1 Sep 2026 | 0h39m38.97s | N 7 08.707' | 1.835 | 0.908 | 9.3 | 146.2 | 19.96 | 314.5 | Psc |
| 6 Sep 2026 | 0h37m28.85s | N 7 34.466' | 1.830 | 0.881 | 9.2 | 151.3 | 23.87 | 299.8 | Psc |
| 11 Sep 2026 | 0h34m29.23s | N 7 55.919' | 1.826 | 0.858 | 9.0 | 156.6 | 28.26 | 290.0 | Psc |
| 16 Sep 2026 | 0h30m46.63s | N 8 13.009' | 1.823 | 0.840 | 8.8 | 161.9 | 32.25 | 283.4 | Psc |
| 21 Sep 2026 | 0h26m30.70s | N 8 25.894' | 1.820 | 0.827 | 8.6 | 167.2 | 35.26 | 278.8 | Psc |
| 26 Sep 2026 | 0h21m52.67s | N 8 34.836' | 1.818 | 0.820 | 8.5 | 171.8 | 36.93 | 275.5 | Psc |
| 1 Oct 2026 | 0h17m05.58s | N 8 40.312' | 1.816 | 0.817 | 8.4 | 173.7 | 37.07 | 273.0 | Psc |

Vamberga (324)

| | | | | | | | | | |
|-------------|--------------|-------------|-------|-------|------|-------|-------|-------|-----|
| 1 Sep 2026 | 20h05m05.94s | S24 04.437' | 1.983 | 1.100 | 9.6 | 140.0 | 26.22 | 319.6 | Sgr |
| 6 Sep 2026 | 20h03m13.81s | S23 24.143' | 1.967 | 1.121 | 9.7 | 134.9 | 23.29 | 334.4 | Sgr |
| 11 Sep 2026 | 20h02m23.12s | S22 42.017' | 1.952 | 1.146 | 9.8 | 130.1 | 22.00 | 352.6 | Sgr |
| 16 Sep 2026 | 20h02m34.68s | S21 58.429' | 1.938 | 1.173 | 9.8 | 125.4 | 22.90 | 11.1 | Sgr |
| 21 Sep 2026 | 20h03m47.39s | S21 13.645' | 1.924 | 1.204 | 9.9 | 121.0 | 25.72 | 26.6 | Sgr |
| 26 Sep 2026 | 20h05m58.18s | S20 27.878' | 1.910 | 1.236 | 10.0 | 116.7 | 29.73 | 37.9 | Sgr |
| 1 Oct 2026 | 20h09m03.66s | S19 41.208' | 1.897 | 1.270 | 10.1 | 112.7 | 34.33 | 45.9 | Cap |

Обозначения для комет и астероидов: α – прямое восхождение для эпохи 2000.0, δ – склонение для эпохи 2000.0, r – расстояние от Солнца, Δ – расстояние от Земли, m – звездная величина, elon. – элонгация, V – угловая скорость (секунд в час), PA – позиционный угол направления движения небесного тела, con. – созвездие

Кометы в сентябре 2026 года

(с блеском до 11m, причем блеск может отличаться от предсказанного до нескольких звездных величин)

Комета P/Tempel (10P)

| Дата | $\alpha(2000.0)$ | $\delta(2000.0)$ | r | Δ | m | elon. | V | PA | con |
|-------------|------------------|------------------|-------|----------|-----|-------|-------|-------|-----|
| 1 Sep 2026 | 22h20m48.26s | S34 21.432' | 1.452 | 0.477 | 7.4 | 153.8 | 32.15 | 133.5 | Psa |
| 2 Sep 2026 | 22h21m38.51s | S34 30.032' | 1.455 | 0.481 | 7.5 | 153.2 | 30.74 | 130.9 | Psa |
| 3 Sep 2026 | 22h22m28.58s | S34 37.855' | 1.457 | 0.485 | 7.5 | 152.6 | 29.43 | 128.2 | Psa |
| 4 Sep 2026 | 22h23m18.52s | S34 44.907' | 1.459 | 0.490 | 7.6 | 151.9 | 28.22 | 125.2 | Psa |
| 5 Sep 2026 | 22h24m08.36s | S34 51.194' | 1.462 | 0.495 | 7.6 | 151.3 | 27.13 | 121.9 | Psa |
| 6 Sep 2026 | 22h24m58.15s | S34 56.720' | 1.464 | 0.500 | 7.6 | 150.7 | 26.17 | 118.3 | Psa |
| 7 Sep 2026 | 22h25m47.94s | S35 01.493' | 1.467 | 0.505 | 7.7 | 150.1 | 25.35 | 114.6 | Psa |
| 8 Sep 2026 | 22h26m37.79s | S35 05.520' | 1.470 | 0.510 | 7.7 | 149.5 | 24.68 | 110.6 | Psa |
| 9 Sep 2026 | 22h27m27.75s | S35 08.810' | 1.473 | 0.515 | 7.8 | 148.9 | 24.18 | 106.4 | Psa |
| 10 Sep 2026 | 22h28m17.86s | S35 11.373' | 1.475 | 0.520 | 7.8 | 148.3 | 23.84 | 102.1 | Psa |
| 11 Sep 2026 | 22h29m08.19s | S35 13.219' | 1.478 | 0.526 | 7.8 | 147.7 | 23.68 | 97.8 | Psa |
| 12 Sep 2026 | 22h29m58.76s | S35 14.360' | 1.481 | 0.531 | 7.9 | 147.1 | 23.67 | 93.5 | Psa |
| 13 Sep 2026 | 22h30m49.63s | S35 14.809' | 1.484 | 0.537 | 7.9 | 146.5 | 23.83 | 89.3 | Psa |
| 14 Sep 2026 | 22h31m40.84s | S35 14.578' | 1.487 | 0.543 | 8.0 | 145.9 | 24.12 | 85.3 | Psa |
| 15 Sep 2026 | 22h32m32.42s | S35 13.681' | 1.491 | 0.549 | 8.0 | 145.4 | 24.55 | 81.5 | Psa |
| 16 Sep 2026 | 22h33m24.41s | S35 12.134' | 1.494 | 0.555 | 8.1 | 144.8 | 25.10 | 78.0 | Psa |
| 17 Sep 2026 | 22h34m16.83s | S35 09.952' | 1.497 | 0.561 | 8.1 | 144.2 | 25.74 | 74.6 | Psa |
| 18 Sep 2026 | 22h35m09.70s | S35 07.149' | 1.501 | 0.568 | 8.2 | 143.6 | 26.46 | 71.6 | Psa |
| 19 Sep 2026 | 22h36m03.05s | S35 03.743' | 1.504 | 0.574 | 8.2 | 143.1 | 27.26 | 68.8 | Psa |
| 20 Sep 2026 | 22h36m56.90s | S34 59.748' | 1.507 | 0.581 | 8.3 | 142.5 | 28.11 | 66.3 | Psa |
| 21 Sep 2026 | 22h37m51.26s | S34 55.181' | 1.511 | 0.588 | 8.3 | 141.9 | 29.00 | 64.0 | Psa |
| 22 Sep 2026 | 22h38m46.14s | S34 50.058' | 1.514 | 0.595 | 8.4 | 141.4 | 29.93 | 61.9 | Psa |
| 23 Sep 2026 | 22h39m41.56s | S34 44.396' | 1.518 | 0.602 | 8.4 | 140.8 | 30.88 | 60.0 | Psa |
| 24 Sep 2026 | 22h40m37.52s | S34 38.210' | 1.522 | 0.609 | 8.5 | 140.2 | 31.84 | 58.3 | Psa |
| 25 Sep 2026 | 22h41m34.03s | S34 31.517' | 1.526 | 0.616 | 8.5 | 139.7 | 32.81 | 56.8 | Psa |
| 26 Sep 2026 | 22h42m31.09s | S34 24.332' | 1.529 | 0.623 | 8.6 | 139.1 | 33.79 | 55.4 | Psa |
| 27 Sep 2026 | 22h43m28.70s | S34 16.671' | 1.533 | 0.631 | 8.6 | 138.6 | 34.77 | 54.1 | Psa |
| 28 Sep 2026 | 22h44m26.87s | S34 08.549' | 1.537 | 0.638 | 8.7 | 138.0 | 35.74 | 53.0 | Psa |
| 29 Sep 2026 | 22h45m25.60s | S33 59.982' | 1.541 | 0.646 | 8.7 | 137.5 | 36.71 | 52.0 | Psa |
| 30 Sep 2026 | 22h46m24.88s | S33 50.982' | 1.545 | 0.654 | 8.8 | 137.0 | 37.66 | 51.1 | Psa |

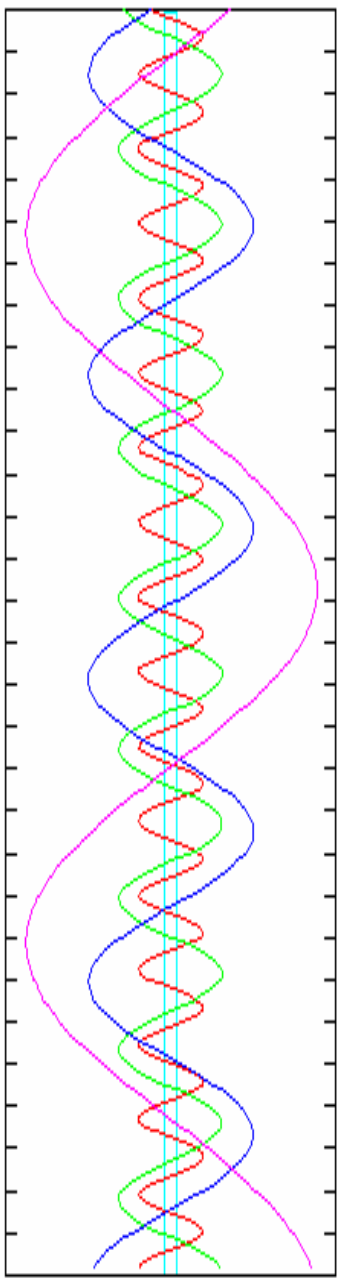
Комета P/Gale (34D)

| | | | | | | | | | |
|------------|--------------|-------------|-------|-------|------|------|--------|-------|-----|
| 1 Sep 2026 | 14h58m35.91s | S25 46.156' | 1.217 | 1.069 | 10.0 | 71.6 | 152.08 | 114.8 | Hya |
| 2 Sep 2026 | 15h02m41.57s | S26 11.654' | 1.218 | 1.070 | 10.0 | 71.7 | 152.81 | 114.3 | Lib |
| 3 Sep 2026 | 15h06m50.25s | S26 36.799' | 1.219 | 1.071 | 10.0 | 71.7 | 153.52 | 113.8 | Lib |

Конфигурации спутников Юпитера в сентябре (время всемирное - UT)

I - ИО, II - ЕВРОПА, III - ГАНИМЕД, IV - КАЛЛИСТО

1
3
5
7
9
11
13
15
17
19
21
23
25
27
29
1

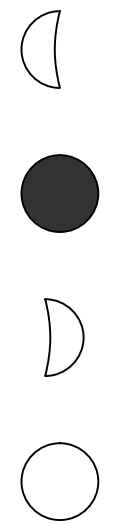


| | | | | | | | | | | | |
|----|------|--------|--------|------|--------|--------|--------|--------|--------|--------|-------|
| 1 | 3 | 8.5 | 1.Ес.Д | 11 | 7 | 30.7 | 3.Ес.Д | 21 | 1 | 44.1 | 2.Ш.И |
| 5 | 59.7 | 1.Ос.Р | 13 | 59.6 | 3.Ос.Р | 3 | 23.9 | 2.Тр.И | | | |
| 13 | 6.7 | 2.Ес.Д | 17 | 59.1 | 1.Ес.Д | 4 | 37.2 | 2.Ш.Е | | | |
| 17 | 7.5 | 2.Ос.Р | 20 | 59.9 | 1.Ос.Р | 6 | 17.3 | 2.Тр.Е | | | |
| 19 | 28.2 | 4.Ш.И | 12 | 4 | 59.2 | 2.Ес.Д | 11 | 42.8 | 1.Ш.И | | |
| 2 | 0 | 14.3 | 4.Ш.Е | 9 | 18.5 | 2.Ос.Р | 12 | 32.3 | 1.Тр.И | | |
| 0 | 29.7 | 1.Ш.И | 15 | 20.6 | 1.Ш.И | 14 | 0.4 | 1.Ш.Е | | | |
| 0 | 41.9 | 4.Тр.И | 16 | 3.0 | 1.Тр.И | 14 | 50.0 | 1.Тр.Е | | | |
| 1 | 3.0 | 1.Тр.И | 17 | 38.4 | 1.Ш.Е | 22 | 1 | 39.0 | 3.Ш.И | | |
| 2 | 47.7 | 1.Ш.Е | 18 | 21.0 | 1.Тр.Е | 1 | 5.2 | 3.Тр.И | | | |
| 3 | 21.1 | 1.Тр.Е | 13 | 12 | 27.5 | 1.Ес.Д | 5 | 14.9 | 3.Ш.Е | | |
| 5 | 30.7 | 4.Тр.Е | 15 | 29.8 | 1.Ос.Р | 8 | 39.8 | 3.Тр.Е | | | |
| 21 | 36.9 | 1.Ес.Д | 23 | 9.0 | 2.Ш.И | 8 | 49.7 | 1.Ес.Д | | | |
| 3 | 0 | 29.7 | 1.Ос.Р | 14 | 0 | 37.1 | 2.Тр.И | 11 | 59.4 | 1.Ос.Р | |
| 7 | 16.4 | 2.Ш.И | 2 | 2.1 | 2.Ш.Е | 20 | 51.4 | 2.Ес.Д | | | |
| 8 | 25.5 | 2.Тр.И | 3 | 30.5 | 2.Тр.Е | 23 | 1 | 27.5 | 2.Ос.Р | | |
| 10 | 9.4 | 2.Ш.Е | 9 | 49.0 | 1.Ш.И | 1 | 6 | 11.2 | 1.Ш.И | | |
| 11 | 18.9 | 2.Тр.Е | 10 | 32.9 | 1.Тр.И | 7 | 2.1 | 1.Тр.И | | | |
| 18 | 58.2 | 1.Ш.И | 12 | 6.8 | 1.Ш.Е | 8 | 28.8 | 1.Ш.Е | | | |
| 19 | 33.0 | 1.Тр.И | 12 | 50.8 | 1.Тр.Е | 9 | 19.8 | 1.Тр.Е | | | |
| 21 | 16.1 | 1.Ш.Е | 21 | 40.6 | 3.Ш.И | 24 | 3 | 18.1 | 1.Ес.Д | | |
| 21 | 51.1 | 1.Тр.Е | 15 | 0 | 40.6 | 3.Тр.И | 6 | 29.2 | 1.Ос.Р | | |
| 4 | 3 | 32.5 | 3.Ес.Д | 1 | 16.4 | 3.Ш.Е | 15 | 1 | 5.5 | 2.Ш.И | |
| 9 | 35.3 | 3.Ос.Р | 4 | 18.0 | 3.Тр.Е | 16 | 46.9 | 2.Тр.И | | | |
| 16 | 5.4 | 1.Ес.Д | 6 | 56.0 | 1.Ес.Д | 17 | 54.5 | 2.Ш.Е | | | |
| 18 | 59.8 | 1.Ос.Р | 9 | 59.8 | 1.Ос.Р | 19 | 40.1 | 2.Тр.Е | | | |
| 5 | 2 | 24.2 | 2.Ес.Д | 18 | 16.7 | 2.Ес.Д | 25 | 0 | 39.6 | 1.Ш.И | |
| 6 | 31.3 | 2.Ос.Р | 22 | 41.8 | 2.Ос.Р | 1 | 31.8 | 1.Тр.И | | | |
| 13 | 26.7 | 1.Ш.И | 4 | 17.5 | 1.Ш.И | 2 | 57.1 | 1.Ш.Е | | | |
| 14 | 3.1 | 1.Тр.И | 5 | 2.8 | 1.Тр.И | 3 | 49.4 | 1.Тр.Е | | | |
| 15 | 44.6 | 1.Ш.Е | 6 | 35.2 | 1.Ш.Е | 15 | 26.5 | 3.Ес.Д | | | |
| 16 | 21.2 | 1.Тр.Е | 7 | 20.7 | 1.Тр.Е | 21 | 46.5 | 1.Ес.Д | | | |
| 6 | 10 | 33.8 | 1.Ес.Д | 17 | 1 | 24.4 | 1.Ес.Д | 22 | 43.3 | 3.Ос.Р | |
| 13 | 29.8 | 1.Ос.Р | 4 | 29.7 | 1.Ос.Р | 26 | 0 | 59.0 | 1.Ос.Р | | |
| 20 | 34.0 | 2.Ш.И | 12 | 26.4 | 2.Ш.И | 10 | 8.6 | 2.Ес.Д | | | |
| 21 | 49.6 | 2.Тр.И | 14 | 0.4 | 2.Тр.И | 14 | 49.9 | 2.Ос.Р | | | |
| 23 | 27.0 | 2.Ш.Е | 15 | 19.4 | 2.Ш.Е | 19 | 8.0 | 1.Ш.И | | | |
| 7 | 0 | 43.0 | 2.Тр.Е | 16 | 53.7 | 2.Тр.Е | 20 | 1.5 | 1.Тр.И | | |
| 7 | 55.1 | 1.Ш.И | 22 | 45.9 | 1.Ш.И | 20 | 49.3 | 4.Ес.Д | | | |
| 8 | 33.1 | 1.Тр.И | 23 | 32.7 | 1.Тр.И | 21 | 25.5 | 1.Ш.Е | | | |
| 10 | 13.0 | 1.Ш.Е | 18 | 1 | 3.6 | 1.Ш.Е | 22 | 19.1 | 1.Тр.Е | | |
| 10 | 51.1 | 1.Тр.Е | 1 | 50.5 | 1.Тр.Е | 27 | 1 | 41.0 | 4.Ес.Р | | |
| 17 | 41.6 | 3.Ш.И | 11 | 28.7 | 3.Ес.Д | 5 | 29.0 | 4.Ос.Д | | | |
| 20 | 16.9 | 3.Тр.И | 13 | 27.6 | 4.Ш.И | 10 | 23.6 | 4.Ос.Р | | | |
| 21 | 17.3 | 3.Ш.Е | 18 | 14.4 | 4.Ш.Е | 16 | 14.9 | 1.Ес.Д | | | |
| 23 | 54.1 | 3.Тр.Е | 18 | 22.3 | 3.Ос.Р | 19 | 28.7 | 1.Ос.Р | | | |
| 8 | 5 | 2.3 | 1.Ес.Д | 19 | 52.8 | 1.Ес.Д | 28 | 4 | 19.3 | 2.Ш.И | |
| 7 | 59.9 | 1.Ос.Р | 20 | 57.4 | 4.Тр.И | 6 | 10.1 | 2.Тр.И | | | |
| 15 | 41.9 | 2.Ес.Д | 22 | 59.7 | 1.Ос.Р | 7 | 12.4 | 2.Ш.Е | | | |
| 19 | 55.1 | 2.Ос.Р | 19 | 1 | 47.1 | 4.Тр.Е | 9 | 3.4 | 2.Тр.Е | | |
| 9 | 2 | 23.6 | 1.Ш.И | 7 | 34.0 | 2.Ес.Д | 13 | 36.4 | 1.Ш.И | | |
| 3 | 3.1 | 1.Тр.И | 12 | 4.8 | 2.Ос.Р | 14 | 31.1 | 1.Тр.И | | | |
| 4 | 41.5 | 1.Ш.Е | 17 | 14.4 | 1.Ш.И | 15 | 53.9 | 1.Ш.Е | | | |
| 5 | 21.1 | 1.Тр.Е | 18 | 2.5 | 1.Тр.И | 16 | 48.7 | 1.Тр.Е | | | |
| 23 | 30.7 | 1.Ес.Д | 19 | 32.0 | 1.Ш.Е | 29 | 5 | 37.9 | 3.Ш.И | | |
| 2 | 29.9 | 1.Ос.Р | 20 | 20.3 | 1.Тр.Е | 9 | 13.7 | 3.Ш.Е | | | |
| 2 | 48.8 | 4.Ес.Д | 20 | 14 | 21.2 | 1.Ес.Д | 9 | 22.4 | 3.Тр.И | | |
| 7 | 39.4 | 4.Ес.Р | 17 | 29.5 | 1.Ос.Р | 10 | 43.3 | 1.Ес.Д | | | |
| 9 | 18.6 | 4.Ос.Д | | | | 13 | 0.0 | 3.Тр.Е | | | |
| 9 | 51.4 | 2.Ш.И | | | | 13 | 58.4 | 1.Ос.Р | | | |
| 11 | 13.2 | 2.Тр.И | | | | 23 | 25.8 | 2.Ес.Д | | | |
| 12 | 44.4 | 2.Ш.Е | | | | 30 | 4 | 12.1 | 2.Ос.Р | | |
| 14 | 6.6 | 2.Тр.Е | | | | 8 | 4.8 | 1.Ш.И | | | |
| 14 | 12.5 | 4.Ос.Р | | | | 9 | 0.8 | 1.Тр.И | | | |
| 20 | 52.1 | 1.Ш.И | | | | 10 | 22.3 | 1.Ш.Е | | | |
| 21 | 33.0 | 1.Тр.И | | | | 11 | 18.3 | 1.Тр.Е | | | |
| 23 | 9.9 | 1.Ш.Е | | | | | | | | | |
| 23 | 51.0 | 1.Тр.Е | | | | | | | | | |

Обозначения:
 Ес [затмение спутника планетой]
 Ос [покрытие спутника планетой]
 Тр [прохождение спутника по диску планеты]
 Ш [прохождение тени спутника по диску планеты]
 Д [начало]
 Р [конец]
 И [вступление]
 В [скопление]

Луна в сентябре 2026 года

| Дата | α (2000.0) | δ (2000.0) | R (км.) | m | Элонг | Фаза | Созв |
|-------------|-------------------|-------------------|---------|-------|-------|------|------|
| 1 Sep 2026 | 1h27m47.45s | N13 03.556' | 373971 | -12.4 | 133.0 | 84.2 | Psc |
| 2 Sep 2026 | 2h20m52.05s | N18 26.469' | 371490 | -12.3 | 120.1 | 75.2 | Ari |
| 3 Sep 2026 | 3h17m44.04s | N22 50.882' | 369549 | -12.0 | 107.1 | 64.8 | Ari |
| 4 Sep 2026 | 4h18m23.61s | N25 53.932' | 368172 | -11.7 | 93.9 | 53.5 | Tau |
| 5 Sep 2026 | 5h21m50.64s | N27 16.138' | 367400 | -11.3 | 80.6 | 42.0 | Tau |
| 6 Sep 2026 | 6h26m07.82s | N26 46.803' | 367304 | -10.8 | 67.3 | 30.8 | Gem |
| 7 Sep 2026 | 7h28m59.22s | N24 28.024' | 367975 | -10.1 | 53.9 | 20.6 | Gem |
| 8 Sep 2026 | 8h28m42.58s | N20 34.269' | 369497 | -9.2 | 40.6 | 12.1 | Cnc |
| 9 Sep 2026 | 9h24m37.37s | N15 27.898' | 371925 | -7.9 | 27.3 | 5.6 | Leo |
| 10 Sep 2026 | 10h16m58.49s | N 9 33.849' | 375241 | -5.8 | 14.3 | 1.6 | Leo |
| 11 Sep 2026 | 11h06m34.01s | N 3 15.952' | 379342 | -0.4 | 2.7 | 0.1 | Leo |
| 12 Sep 2026 | 11h54m25.22s | S 3 04.759' | 384024 | -5.1 | 11.5 | 1.0 | Vir |
| 13 Sep 2026 | 12h41m34.26s | S 9 10.384' | 389003 | -7.4 | 23.7 | 4.2 | Vir |
| 14 Sep 2026 | 13h28m57.29s | S14 45.798' | 393940 | -8.7 | 35.5 | 9.3 | Vir |
| 15 Sep 2026 | 14h17m19.70s | S19 38.096' | 398478 | -9.5 | 47.0 | 16.0 | Vir |
| 16 Sep 2026 | 15h07m11.06s | S23 36.120' | 402281 | -10.1 | 58.3 | 23.8 | Lib |
| 17 Sep 2026 | 15h58m39.83s | S26 30.368' | 405059 | -10.6 | 69.3 | 32.5 | Sco |
| 18 Sep 2026 | 16h51m29.83s | S28 13.375' | 406596 | -11.1 | 80.2 | 41.6 | Sco |
| 19 Sep 2026 | 17h45m02.24s | S28 40.454' | 406763 | -11.4 | 91.0 | 51.0 | Sgr |
| 20 Sep 2026 | 18h38m25.58s | S27 50.397' | 405528 | -11.7 | 101.8 | 60.3 | Sgr |
| 21 Sep 2026 | 19h30m51.08s | S25 45.670' | 402965 | -12.0 | 112.7 | 69.4 | Sgr |
| 22 Sep 2026 | 20h21m46.88s | S22 31.964' | 399243 | -12.2 | 123.7 | 77.9 | Cap |
| 23 Sep 2026 | 21h11m05.24s | S18 17.400' | 394623 | -12.4 | 135.0 | 85.4 | Cap |
| 24 Sep 2026 | 21h59m02.31s | S13 11.864' | 389435 | -12.5 | 146.7 | 91.8 | Aqr |
| 25 Sep 2026 | 22h46m13.53s | S 7 26.807' | 384052 | -12.7 | 158.6 | 96.6 | Aqr |
| 26 Sep 2026 | 23h33m28.28s | S 1 15.532' | 378860 | -12.7 | 170.7 | 99.4 | Psc |
| 27 Sep 2026 | 0h21m45.17s | N 5 06.214' | 374214 | -12.8 | 175.7 | 99.9 | Psc |
| 28 Sep 2026 | 1h12m07.03s | N11 19.656' | 370401 | -12.8 | 163.3 | 97.9 | Psc |
| 29 Sep 2026 | 2h05m32.90s | N17 02.765' | 367609 | -12.7 | 150.2 | 93.4 | Ari |
| 30 Sep 2026 | 3h02m43.35s | N21 50.940' | 365915 | -12.6 | 136.9 | 86.6 | Ari |



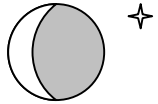
Обозначения: α (2000,0) и δ (2000,0) - координаты Луны на 0 часов UT, R (км.) - расстояние до Луны в километрах, m - звездная величина, Элонг - угловое расстояние от Солнца, Созв - созвездие.

Солнце в сентябре 2026 года ($\phi=56^\circ, \lambda=0^\circ$)

| Д | α (2000.0) | δ (2000.0) | созв | диам | Восход | ВК | Вс | заход |
|----|-------------------|-------------------|------|-------|--------|--------|----|--------|
| 1 | 10h39m33.41s | N 8 28' 32.5" | Leo | 31.69 | 5h05m | 12h00m | 42 | 18h54m |
| 6 | 10h57m38.60s | N 6 38' 34.7" | Leo | 31.73 | 5h14m | 11h58m | 40 | 18h41m |
| 11 | 11h15m38.69s | N 4 45' 50.7" | Leo | 31.77 | 5h24m | 11h57m | 38 | 18h28m |
| 16 | 11h33m35.63s | N 2 51' 04.1" | Leo | 31.81 | 5h34m | 11h55m | 36 | 18h14m |
| 21 | 11h51m31.54s | N 0 54' 59.0" | Vir | 31.86 | 5h44m | 11h53m | 35 | 18h01m |
| 26 | 12h09m28.90s | S 1 01' 42.8" | Vir | 31.90 | 5h53m | 11h51m | 33 | 17h48m |
| 30 | 12h23m53.73s | S 2 35' 03.9" | Vir | 31.94 | 6h01m | 11h50m | 31 | 17h37m |

Соединения Луны с планетами и яркими звездами и конфигурации Луны и планет (UT)

| Сентябрь | | | |
|----------|----|----------------------------|------|
| d | h | Событие | Созв |
| 2 | 7 | Венера 1.5S от Спика | |
| 3 | 21 | Уран 5.4S от Луны | |
| 4 | 7 | ЛУНА В ПОСЛЕДНЕЙ ЧЕТВЕРТИ | |
| 5 | 5 | Луна макс к северу (-28.1) | |
| 6 | 19 | Марс 2.9S от Луны | |
| 6 | 20 | Луна в перигее | |
| 7 | 6 | Поллукс 3.6N от Луны | |
| 8 | 18 | Юпитер 0.7S от Луны | Покр |
| 9 | 19 | Регул 0.5N от Луны | Покр |
| 10 | 18 | Уран в стоянии | |
| 11 | 3 | НОВОЛУНИЕ | |
| 12 | 4 | Меркурий 3.4N от Луны | |
| 13 | 19 | Спика 2.2N от Луны | |
| 14 | 11 | Венера 0.5S от Луны | Покр |
| 17 | 9 | Марс 5.9S от Поллукса | |
| 17 | 12 | Антарес 0.5N от Луны | Покр |
| 18 | 18 | Луна макс к югу (-28.1) | |
| 18 | 20 | ЛУНА В ПЕРВОЙ ЧЕТВЕРТИ | |
| 19 | 2 | Луна в апогее | |
| 21 | 23 | Плутон 2.0S от Луны | |
| 23 | 0 | Осеннее равноденствие | |
| 26 | 1 | Нептун в противостоянии | |
| 26 | 7 | Меркурий 0.9N от Спика | |
| 26 | 15 | Нептун 4.3S от Луны | |
| 26 | 16 | ПОЛНОЛУНИЕ | |



АСТРОНОМИЧЕСКИЕ СОБЫТИЯ МЕСЯЦА

Избранные астрономические события месяца (время всемирное): 1 сентября - максимум действия метеорного потока Ауригиды из созвездия Возничего (ZHR= 6), 2 сентября - Венера проходит в полутора градусах южнее Спикки, 3 сентября - максимальная южная либрация Луны по широте 6,8°, 3 сентября - Луна ($\Phi= 0,6-$) близ Альдебарана, Урана и Плеяд (покрытие при видимости в Сибири), 4 сентября - Луна в фазе последней четверти, 5 сентября - Луна ($\Phi= 0,4-$) проходит точку максимального склонения к северу от небесного экватора, 6 сентября - Луна ($\Phi= 0,23-$) близ Марса, 6 сентября - Луна ($\Phi= 0,22-$) в перигее своей орбиты на расстоянии 368255 км от центра Земли, 8 сентября - Луна ($\Phi= 0,11-$) проходит по рассеянному звездному скоплению Ясли (M44), 8 сентября - Луна ($\Phi= 0,07-$) близ Юпитера (покрытие при видимости на Чукотке), 9 сентября - максимум действия метеорного потока Сентябрьские эпсилон-Персеиды (ZHR= 5), 9 сентября - покрытие Луной ($\Phi= 0,02-$) Регула при видимости в акватории Тихого океана, 9 сентября - Луна ($\Phi= 0,02-$) в нисходящем узле своей орбиты, 10 сентября - Уран в стоянии с переходом к попятному движению, 11 сентября - новолуние, 12 сентября - Луна ($\Phi= 0,01+$) близ Меркурия, 12 сентября - максимальная восточная либрация Луны по долготе 5,4°, 13 сентября - Луна ($\Phi= 0,08+$) близ Спикки, 14 сентября - Луна ($\Phi= 0,13+$) близ Венеры (покрытие при видимости в Индии и Юго-Восточной Азии), 16 сентября - максимальная северная либрация Луны по широте 6,8°, 17 сентября - покрытие Луной ($\Phi= 0,38+$) Антареса (при видимости в Австралии и Антарктиде), 18 сентября - Луна ($\Phi= 0,49+$) проходит точку максимального склонения к югу от небесного экватора, 18 сентября - Луна в фазе первой четверти, 19 сентября - Луна ($\Phi= 0,52+$) в апогее своей орбиты на расстоянии 404217 км от центра Земли, 23 сентября - осеннее равноденствие, 24 сентября - Луна ($\Phi= 0,93+$) в восходящем узле своей орбиты, 25 сентября - максимальная западная либрация Луны по долготе 5,1°, 26 сентября - Нептун в противостоянии с Солнцем, 26 сентября - Меркурий проходит в градусе севернее Спикки, 26 сентября - Луна ($\Phi= 1,0$) близ Нептуна, 26 сентября - полнолуние, 27 сентября - Луна ($\Phi= 0,99-$) близ Сатурна, 30 сентября - максимальная южная либрация Луны по широте 6,7°, 30 сентября - астероид Nausikaa (192) в противостоянии с Солнцем.

Солнце движется по созвездию Льва до 16 сентября, а затем переходит в созвездие Девы и остается в нем до конца месяца. Склонение дневного светила уменьшается с каждым днем все быстрее, а продолжительность ночи увеличивается. Осеннее равноденствие (23 сентября) сравнивает продолжительность дня и ночи на всей Земле, а после перехода Солнца в южное полушарие неба ночь в северном полушарии Земли становится длиннее дня (астрономическая осень), а в южном полушарии Земли - короче (астрономическая весна). В начале месяца долгота дня на широте Москвы составляет 13 часов 47 минут, а в конце - 11 часов 38 минут, и продолжает быстро уменьшаться. Полуденная высота Солнца на широте Москвы уменьшится за месяц с 42 до 31 градуса. **Но нужно помнить, что визуальное изучение Солнца в телескоп или другие оптические приборы нужно проводить обязательно (!) с применением солнечного фильтра** (рекомендации по наблюдению Солнца имеются в журнале «Небосвод» <http://astronet.ru/db/msg/1222232>).

Луна начнет движение по небу сентября в созвездии Рыб при фазе при фазе 0,84-. В первый день месяца при фазе 0,81- лунный овал перейдет в созвездие Овна и пробудет здесь до 3 сентября, уменьшив фазу до 0,63-. Затем Луна пересечет границу с созвездием Тельца и покроет здесь 3 сентября при фазе 0,6- рассеянное звездное скопление Плеяды при видимости в Сибири. 4 сентября ночное светило примет фазу последней четверти, а 5 сентября при фазе 0,37- достигнет созвездия Близнецов. 6 сентября Луна ($\Phi= 0,23-$) пройдет близ Марса, а 7 сентября при фазе 0,16- вступит в созвездие Рака, где 8 сентября уже при фазе 0,11- пройдет по рассеянному звездному скоплению Ясли (M44). В этот же день Луна ($\Phi= 0,07-$) покроет Юпитер при видимости на Чукотке, а затем при фазе 0,06- перейдет в созвездие Льва, где 9 сентября произойдет покрытие Луной ($\Phi= 0,02-$) Регула при видимости в акватории Тихого океана. 11 сентября в созвездии Льва Луна примет фазу новолуния, а затем устремится к созвездию Девы, в которое войдет при фазе 0,01+ в этот же день. Здесь 12 сентября Луна ($\Phi= 0,01+$) пройдет близ Меркурия, а 13 сентября при фазе 0,08+ - близ Спикки. 14 сентября Луна ($\Phi= 0,13+$) пройдет близ Венеры (покрытие при видимости в Индии и Юго-Восточной Азии), а 15 сентября при фазе 0,17+ перейдет в созвездие Весов. На следующий день лунный серп войдет в созвездие Скорпиона, где 17 сентября покроет при фазе 0,38+ Антарес при видимости в Австралии и Антарктиде. 18 сентября Луна ($\Phi= 0,42+$) пересечет границу с созвездием Змееносца и в тот же день примет здесь фазу первой четверти у границы с созвездием Стрельца. Увеличивая фазу лунный овал пробудет здесь до 21 сентября, а затем перейдет в созвездие Козерога при фазе 0,75+. 23 сентября Луна ($\Phi= 0,92+$) перейдет в созвездие Водолея, а 25 сентября - в созвездие Рыб, увеличив фазу до 0,99+. Здесь 26 сентября яркий лунный диск примет фазу полнолуния, наблюдаясь всю ночь. В этот день полная Луна будет находиться близ Нептуна и Сатурна, а 28 сентября при фазе 0,95- перейдет в созвездие Овна. 30 сентября Луна ($\Phi= 0,83-$) вступит в созвездие Тельца и второй раз за месяц покроет при фазе 0,8- рассеянное звездное скопление Плеяды при видимости на Европейской части России. В созвездии Тельца Луна закончит свой путь по сентябрьскому небу при фазе 0,78-.

Большие планеты Солнечной системы. Меркурий перемещается прямым движением по созвездию Льва, 7 сентября переходя в созвездие Девы. Быстрая планета находится на вечернем небе. 12 сентября близ Меркурия пройдет Луна. Угловое расстояние к востоку от Солнца за месяц увеличится до 22 градусов. Блеск планеты уменьшается от -1,5m до 0m к концу месяца. Видимый диаметр Меркурия в течение месяца придерживается значения 5 угловых секунд. Фаза планеты уменьшается от 1,0 до 0,8. В течение месяца наблюдаемый вид планеты изменится от диска до овала.

Венера перемещается прямым движением по созвездию Девы близ Спикки. Планета наблюдается на вечернем небе. 14 сентября близ Венеры пройдет Луна (покрытие при видимости в Индии и Юго-Восточной Азии). Угловое расстояние планеты от Солнца уменьшается от 45 до 33 градусов к востоку. Видимый диаметр планеты увеличивается от 30" до 47", а фаза уменьшается от 0,4 до 0,17 при блеске более -4,5m. В телескоп виден увеличивающийся в размерах серп планеты.

Марс перемещается в одном направлении с Солнцем по созвездию Близнецов, 25 сентября переходя в созвездие Рака. Планета видна на утреннем небе. 6 сентября близ Марса пройдет Луна. Блеск планеты достигает +1m, а видимый диаметр - более 5 секунд дуги. В любительский телескоп можно различить небольшой диск.

Юпитер перемещается по созвездию Рака (23 сентября переходя в созвездие Льва), имея прямое движение. Газовый гигант наблюдается на утреннем небе. 8 сентября близ Юпитера пройдет Луна (покрытие при видимости на Чукотке). Угловой диаметр самой большой планеты Солнечной системы увеличивается до 33" при блеске около -1,6m. Диск планеты различим даже в бинокль, а в небольшой телескоп на поверхности Юпитера видны полосы и другие детали. Четыре больших спутника видны уже в бинокль, а в телескоп в условиях хорошей видимости можно наблюдать тени от спутников на диске планеты, а также различные конфигурации спутников.

Сатурн имеет попятное движение, перемещаясь по созвездию Рыб близ Нептуна. Сатурн наблюдается на ночном и утреннем небе. 27 сентября близ Сатурна пройдет Луна. Блеск планеты составляет +0,5m при видимом диаметре около 20". В небольшой телескоп видны кольца планеты, спутник Титан, а также другие наиболее яркие спутники. Видимый наклон колец Сатурна составляет около 9 градусов.

Уран (6m, 3,5") перемещается в одном направлении с Солнцем (10 сентября меняя движение на попятное) по созвездию Тельца между звездными скоплениями Плеяды и Гиады. Планета видна на ночном и утреннем небе. 3 сентября близ Урана пройдет Луна. Увидеть диск Урана (в период видимости) поможет телескоп от 80 мм в диаметре с увеличением более 80 крат и прозрачное небо. Невооруженным глазом планета может быть найдена темном небе при отсутствии Луны и наземных источников света (лучше всего в период противостояния). Блеск спутников Урана слабее 13m.

Нептун (8m, 2,4") перемещается попятно по созвездию Рыб, близ звезды лямбда Psc (4,5m) и Сатурна. Нептун наблюдается на ночном и утреннем небе, вступая в противостояние с Солнцем 26 сентября. В этот же день близ Нептуна пройдет Луна. Найти планету в период видимости можно в бинокль с использованием звездных карт [Астрономического календаря на 2026 год](http://www.minorplanetcenter.net). Диск планеты различим в телескоп от 100 мм в диаметре с увеличением более 100 крат (при прозрачном небе). Спутники Нептуна имеют блеск слабее 13m.

Сведения о кометах месяца (с графиками прогнозируемого и реального блеска и картами путей) имеются на <http://aerith.net/comet/weekly/current.html>, а базы для популярных программ-планетариев на сайте <http://www.minorplanetcenter.net>

Среди астероидов месяца самой яркой будет Веста с блеском около 6,5m в созвездии Кита. Сведения о покрытиях звезд астероидами на <http://asteroidoccultation.com/IndexAll.htm>.

Долгопериодические переменные звезды месяца. Данные по переменным звездам (даты максимумов и минимумов) можно найти на <http://www.aavso.org/>.

Среди основных метеорных потоков 1 сентября пик максимума будет у потока Ауригиды из созвездия Возничего (ZHR= 6). 9 сентября максимума действия достигнут Сентябрьские эпсилон-Персеиды (ZHR= 5). В период максимума Ауригид условия наблюдений малоблагоприятные, т.к. максимум потока приходится на близкое полнолуние. Для максимума потока Сентябрьские эпсилон-Персеиды условия наблюдений лучше, т.к. Луна около фазы новолуния не будет помехой в наблюдениях метеоров. Подробнее на <http://www.imo.net>.

Дополнительно в АК_2026 - <http://www.astronet.ru/db/msg/1954137>

Ясного неба и успешных наблюдений!